

# 水路部磁気測点に於ける C A 変換関数

海上保安庁 水路部 植田義夫  
海上保安庁 水路部 大島章一

## 1. はじめに

海上保安庁水路部では、1974年から1975年にかけ、第10回全国磁気測量を行なった。この測量では、各磁気測点でブラックスゲート型磁力計による地磁気三成分の連続観測が実施され、CA研究の上で貴重な観測成果が得られている。

ここでは、それらの観測成果のうち、比較的短周期変動の卓越しているものについて、スペクトル解析の方法を適用し、CA変換関数を求めたのでその結果について報告する。なお解析(2)は、Honkura の方法を参考にし、B-T法で行なった。

## 2. データ及び解析結果

今回解析を行なった各磁気測点の位置を第1図に、又、解析に用いたデータの期間、およびサンプリング間隔を第1表に示す。

上記のデータを用いて、各磁気測点のCA変換関数ならびに、周期10分と60分のパーキンソンベクトルを算出した。これらの結果を、第2図から第9図にかけて示した。

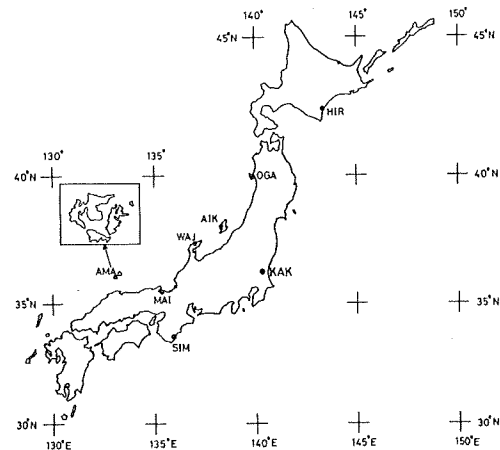
## 3. 考察

各磁気測点のCA変換関数の周期特性から次の事が推定される。

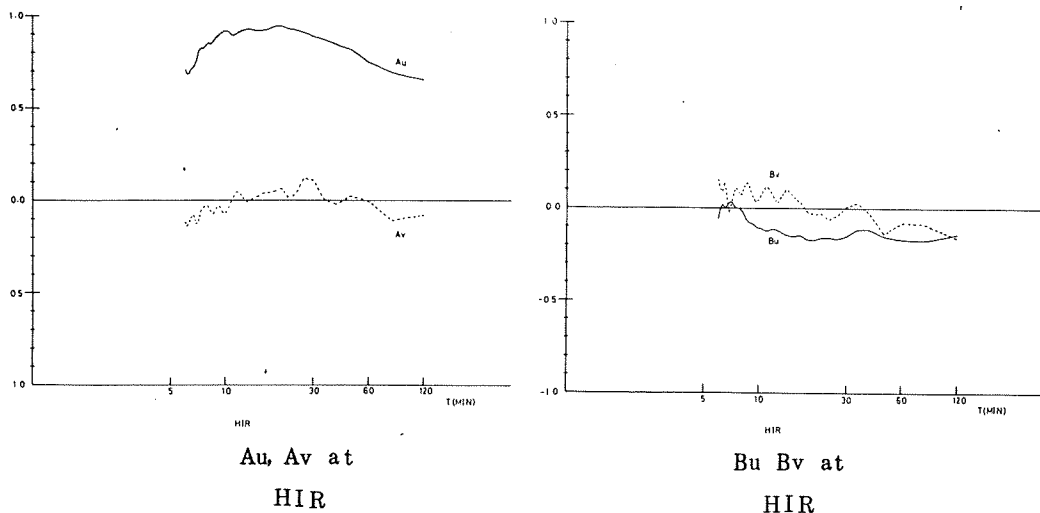
- (1) 日本海側の男鹿、舞鶴、海士のAuの周期特性は、鳥取のそれと類似しており、この付近の地下の良導層が比較的浅所（例えばHonkura、宮腰による地下30km付近）に存在していると考えられる。<sup>(3)</sup>
- (2) 日本海側の輪島、相川での地磁気短周期変動は、その付近での海水中を流れる誘導電流の影響を強く反映している。このことからこの付近の地下の良導層が男鹿、舞鶴等と比べ、かなり深い所にあると考えられる。
- (3) 相川での地磁気短周期変動の特徴は、 $\delta Z$  が  $\delta D$  と大きな相関をもち、中部日本異常とは逆の異方性を示すことである。
- (4) 広尾でのAuの値は、Nishidaによる報告値（60分周期で0.4）と比べかなり大きな値を示し、その周期特性は下里と類似している。この差異は、広尾のCAが半島効果だけで説

Station	Abbr	Lat	Lon	Dec	Data period (U.T.)	Sampling	Information
Hiroo	HIR	42 16.0 N	143 18.0 E	8 00.3 W	1974 8/02 15 <sup>h</sup> 00 <sup>m</sup> -8/03 14 <sup>h</sup> 58 <sup>m</sup>	2 min	station
Oga	OGA	39 55.9	139 46.4	7 13.4	1974 7/25 10 <sup>h</sup> 00 <sup>m</sup> -7/26 09 <sup>h</sup> 57 <sup>m</sup>	3	
Aikawa	AIK	38 01.1	138 13.6	7 28.7	1974 8/30 23 <sup>h</sup> 00 <sup>m</sup> -9/31 22 <sup>h</sup> 57 <sup>m</sup>	3	
Wajima	WAJ	37 24.1	136 53.9	7 07.7	1974 9/06 01 <sup>h</sup> 00 <sup>m</sup> -9/07 00 <sup>h</sup> 58 <sup>m</sup>	2	
Ama	AMA	36 05.6	133 06.2	6 48.3	1975 9/10 13 <sup>h</sup> 00 <sup>m</sup> -9/11 12 <sup>h</sup> 57 <sup>m</sup>	3	
Maizuru	MAI	35 29.3	135 21.3	6 34.2	1974 9/13 07 <sup>h</sup> 00 <sup>m</sup> -9/13 22 <sup>h</sup> 58 <sup>m</sup>	2	
Kakioka	KAK	36 13.8	140 11.3	6 30.9	1976 3/26 00 <sup>h</sup> 00 <sup>m</sup> -3/26 23 <sup>h</sup> 59 <sup>m</sup>	1	Magnetic observatory
					1976 4/03 15 <sup>h</sup> 00 <sup>m</sup> -4/04 14 <sup>h</sup> 59 <sup>m</sup>	1	
Simosato	SIM	33 34.5	135 56.4	5 58.8	1976 3/26 00 <sup>h</sup> 00 <sup>m</sup> -3/26 23 <sup>h</sup> 59 <sup>m</sup>	1	Magnetic observatory
					1976 4/03 15 <sup>h</sup> 00 <sup>m</sup> -4/04 14 <sup>h</sup> 59 <sup>m</sup>	1	

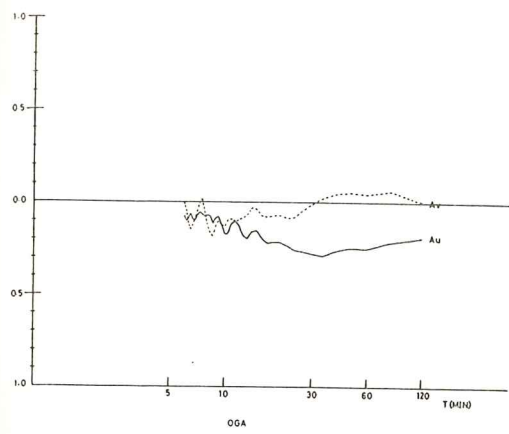
第 1 表



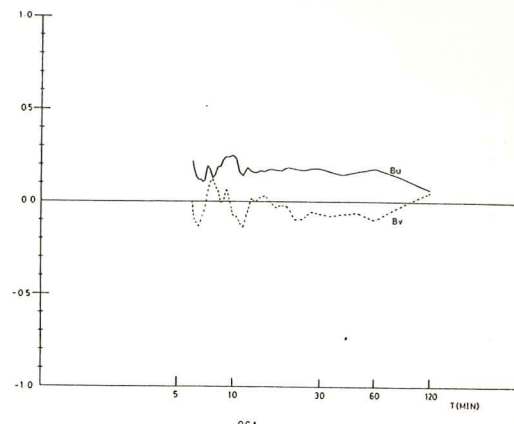
第 1 図



第 2 図

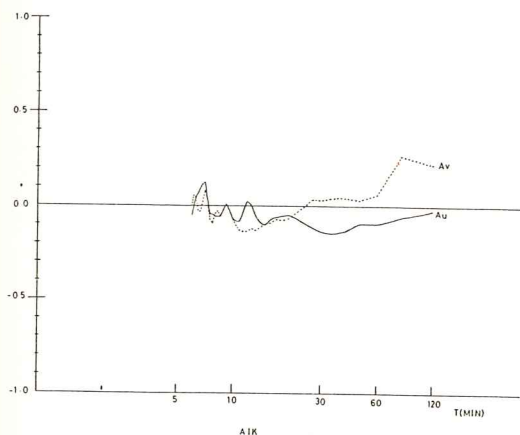


第3図-1

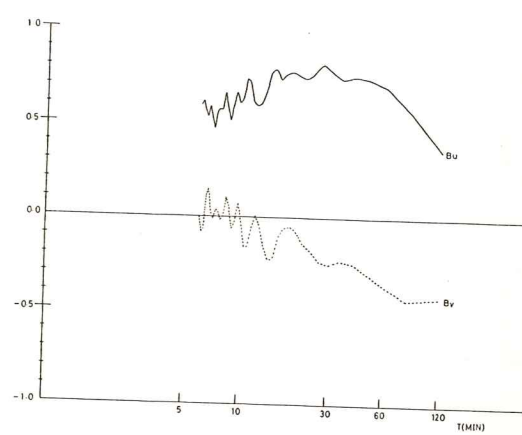


OGA

第3図-2

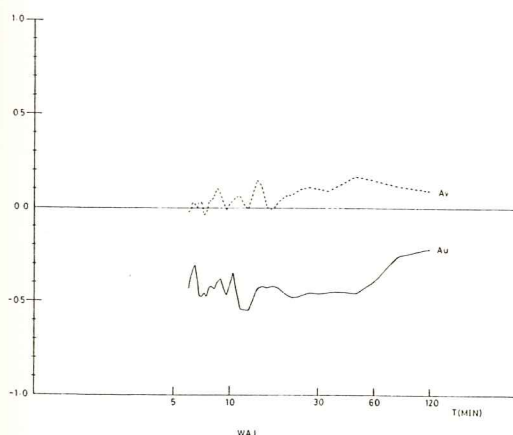


第4図-1

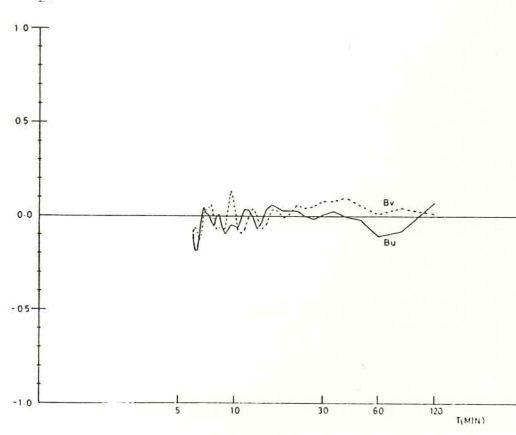


AIK

第4図-2

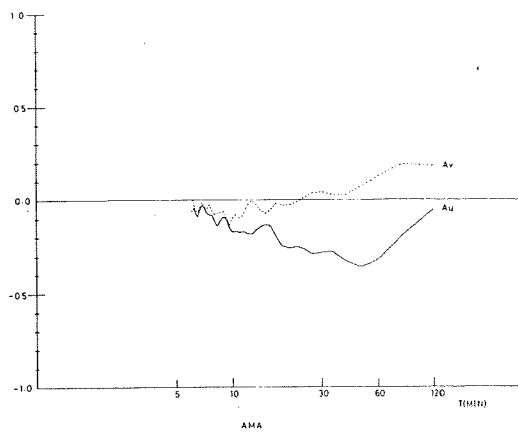


第5図-1

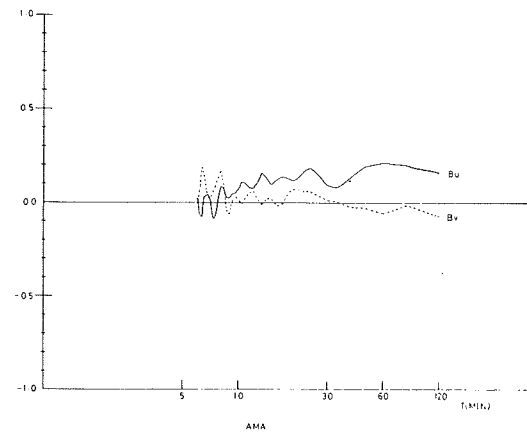


WAJ

第5図-2

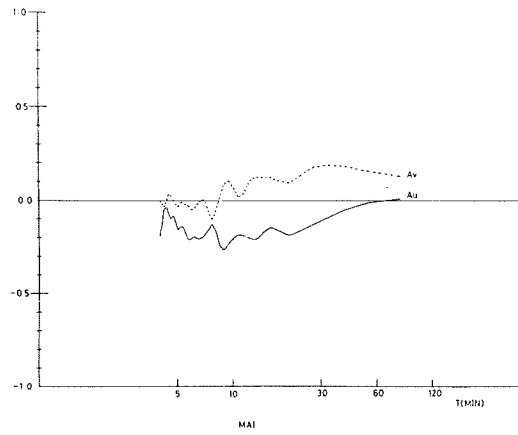


第6図-1

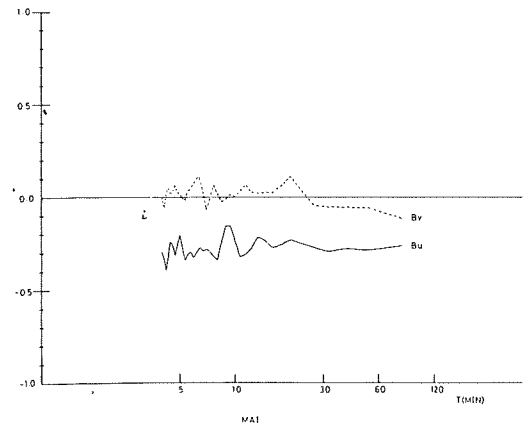


AMA

第6図-2

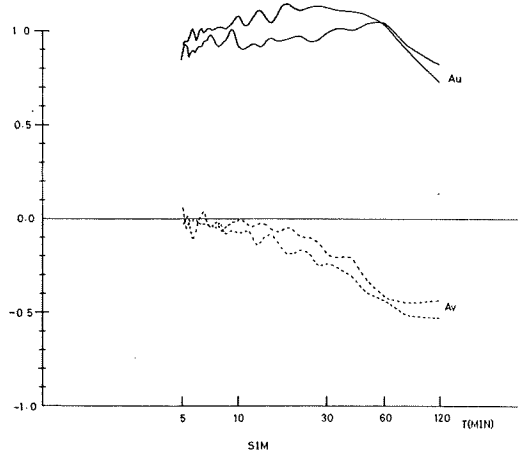


第7図-1



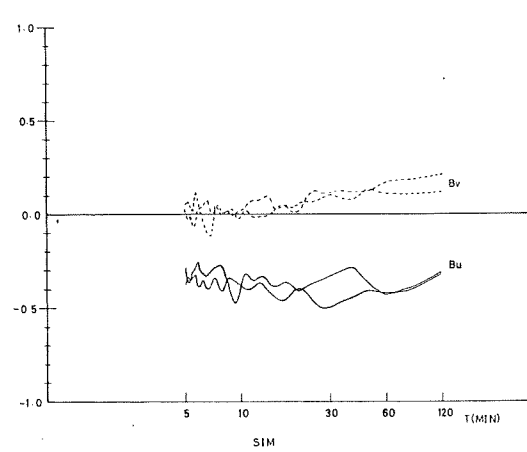
MAI

第7図-2



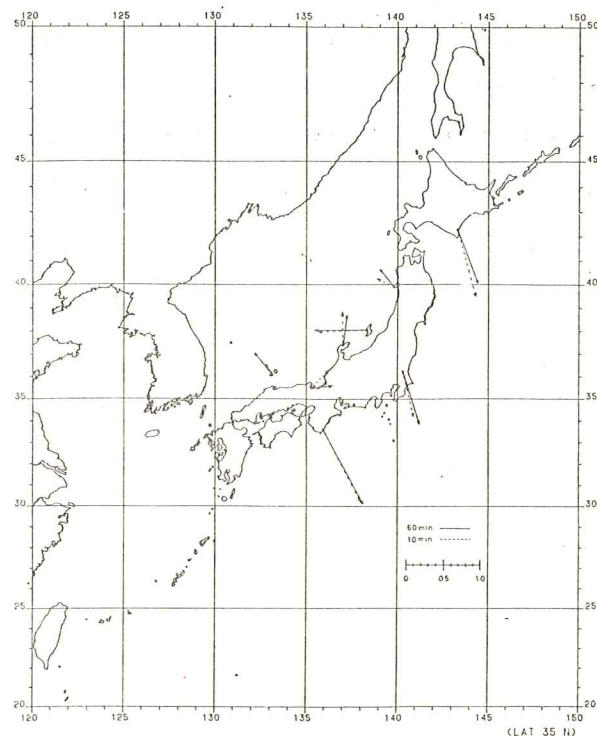
SIM

第8図-1



SIM

第8図-2



第 9 図

明出来るのかどうかという問題と関連しており、これから の結果に興味が持たれる。

#### 参 考 文 献

- 1) Maritime Safety Agency, Tokyo, Japan, Data report of hydrographic observations series of magnetic survey No.3, 1978.
- 2) Honkura, Y., Geomagnetic variation anomaly on Miyakejima Island, J. Geomag. Geoelectr., 23, 307-333, 1972.
- 3) 宮腰潤一郎, 山陰・山陽地方の CA, 「変動電磁界による地下導電率分布の研究」, 工業技術院地質調査所技術資料, 31-40, 1976.

- 4) Honkura, Y., Electrical conductivity anomalies beneath the Japan Arc, *J. Geomag. Geoelectr.*, 26, 147-171, 1974.
- 5) Nishida, Y., Conductivity anomalies in the southern half of Hokkaido, Japan, *J. Geomag. Geoelectr.*, 28, 375-394, 1976.

1.

2.